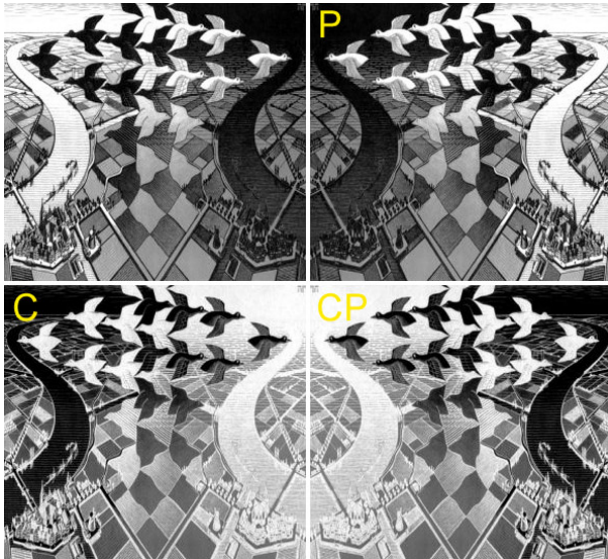


# Entdeckung der CP-Verletzung im Kaonzerfall

Jorrit Lion

09.01.2015

# Veranschaulichung



# Inhaltsverzeichnis

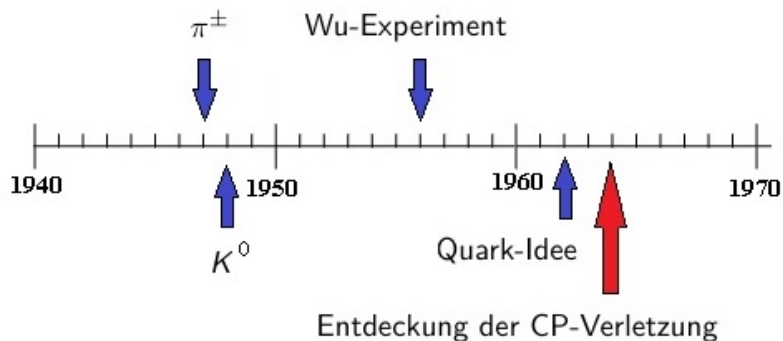
Historische Einordnung

Theoretische Grundlagen

Das Experiment

Interpretation und Auswirkungen

# Historische Einordnung



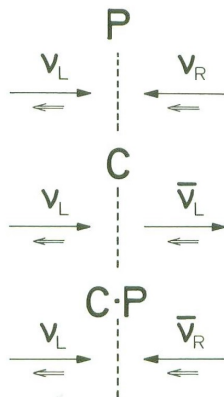
1964, Princeton: J. H. Christenson, J. W. Cronin, V. L. Fitch, and R. Turley

# P Verletzung und CP-Erhaltung

- ▶ Wu-Experiment 1956  
→ P-Verletzung

# P Verletzung und CP-Erhaltung

- ▶ Wu-Experiment 1956  
→ P-Verletzung
- ▶ CP-Erhaltung



# Das Kaon

- ▶ 1950 in der kosmischen Höhenstrahlung entdeckt

# Das Kaon

- ▶ 1950 in der kosmischen Höhenstrahlung entdeckt
- ▶ Strangeness: 1 bzw. -1

# Das Kaon

- ▶ 1950 in der kosmischen Höhenstrahlung entdeckt
- ▶ Strangeness: 1 bzw. -1
- ▶  $K^0 = |d\bar{s}\rangle$ ,  $\overline{K^0} = |\bar{d}s\rangle$

# Das Kaon

- ▶ 1950 in der kosmischen Höhenstrahlung entdeckt
- ▶ Strangeness: 1 bzw. -1
- ▶  $K^0 = |d\bar{s}\rangle$ ,  $\overline{K^0} = |\bar{d}s\rangle$
- ▶  $K^+ = |u\bar{s}\rangle$ ,  $K^- = |\bar{u}s\rangle$

# Das Kaon

- ▶ 1950 in der kosmischen Höhenstrahlung entdeckt
- ▶ Strangeness: 1 bzw. -1
- ▶  $K^0 = |d\bar{s}\rangle$ ,  $\bar{K}^0 = |\bar{d}s\rangle$
- ▶  $K^+ = |u\bar{s}\rangle$ ,  $K^- = |\bar{u}s\rangle$
- ▶ Masse:  
 $K^0, \bar{K}^0$ : 498 MeV  
 $K^+, K^-$ : 494 MeV

# Das Kaon

- ▶ 1950 in der kosmischen Höhenstrahlung entdeckt
- ▶ Strangeness: 1 bzw. -1
- ▶  $K^0 = |d\bar{s}\rangle$ ,  $\bar{K}^0 = |\bar{d}s\rangle$
- ▶  $K^+ = |u\bar{s}\rangle$ ,  $K^- = |\bar{u}s\rangle$
- ▶ Masse:  
 $K^0, \bar{K}^0$ : 498 MeV  
 $K^+, K^-$ : 494 MeV
- ▶ Zerfall in  $2\pi$  und in  $3\pi$  möglich

# Die intrinsische Parität des Kaons

- ▶ Parität ist Eigenwert des Paritätsoperators

# Die intrinsische Parität des Kaons

- ▶ Parität ist Eigenwert des Paritätsoperators
- ▶  $P(\text{Fermionen}) = -P(\text{Antifermion})$

# Die intrinsische Parität des Kaons

- ▶ Parität ist Eigenwert des Paritätsoperators
- ▶  $P(\text{Fermionen}) = -P(\text{Antifermion})$
- ▶  $P(\text{Fermionen}) = +1$ , per Definition

# Die intrinsische Parität des Kaons

- ▶ Parität ist Eigenwert des Paritätsoperators
- ▶  $P(\text{Fermionen}) = -P(\text{Antifermion})$
- ▶  $P(\text{Fermionen}) = +1$ , per Definition

$$P : \vec{r} \rightarrow -\vec{r}$$

$$P : (r, \theta, \phi) \rightarrow (r, \pi - \theta, \pi + \phi)$$

$$P(Y_{lm}(\theta, \phi)) = Y_{lm}(\pi - \theta, \pi + \phi) = (-1)^l Y_{lm}(\theta, \phi)$$

$$P = P_a P_b (-1)^l$$

- ▶ für Mesonen mit  $l = 0$ :  $P_a = +1, P_b = -1 \rightarrow P = -1$

# Die intrinsische Parität des Kaons

- ▶ Parität ist Eigenwert des Paritätsoperators
- ▶  $P(\text{Fermionen}) = -P(\text{Antifermion})$
- ▶  $P(\text{Fermionen}) = +1$ , per Definition

$$P : \vec{r} \rightarrow -\vec{r}$$

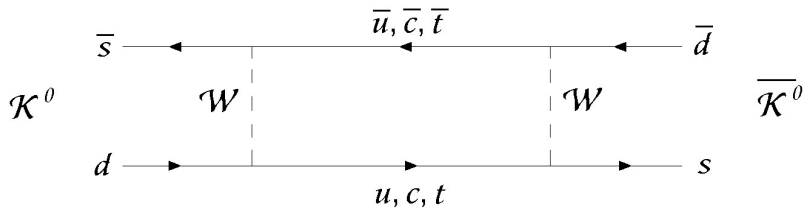
$$P : (r, \theta, \phi) \rightarrow (r, \pi - \theta, \pi + \phi)$$

$$P(Y_{lm}(\theta, \phi)) = Y_{lm}(\pi - \theta, \pi + \phi) = (-1)^l Y_{lm}(\theta, \phi)$$

$$P = P_a P_b (-1)^l$$

- ▶ für Mesonen mit  $l = 0$ :  $P_a = +1, P_b = -1 \rightarrow P = -1$
- ▶  $P |K^0\rangle = -|K^0\rangle$

# Übergänge im Kaonsystem



# Wie zeigt man CP-Verletzung?

- ▶ C-Operator: Teilchen  $\rightarrow$  Antiteilchen

## Wie zeigt man CP-Verletzung?

- ▶ C-Operator: Teilchen  $\rightarrow$  Antiteilchen
- ▶ P-Operator: Raumumkehr:  $\vec{x} \rightarrow -\vec{x}$

# Wie zeigt man CP-Verletzung?

- ▶ C-Operator: Teilchen  $\rightarrow$  Antiteilchen
- ▶ P-Operator: Raumumkehr:  $\vec{x} \rightarrow -\vec{x}$
- ▶  $K^0 \rightarrow \overline{K^0} \xrightarrow{\text{CP}} \overline{K^0} \rightarrow K^0$

## Wie zeigt man CP-Verletzung?

- ▶ C-Operator: Teilchen  $\rightarrow$  Antiteilchen
- ▶ P-Operator: Raumerkehr:  $\vec{x} \rightarrow -\vec{x}$
- ▶  $\boxed{K^0 \rightarrow \overline{K^0}} \xrightarrow{\text{CP}} \boxed{\overline{K^0} \rightarrow K^0}$

Für CP-Verletzung: Vergleich von Wahrscheinlichkeiten.

# Wie zeigt man CP-Verletzung?

- ▶ C-Operator: Teilchen  $\rightarrow$  Antiteilchen
- ▶ P-Operator: Raumumkehr:  $\vec{x} \rightarrow -\vec{x}$
- ▶  $\boxed{K^0 \rightarrow \overline{K^0}} \xrightarrow{\text{CP}} \boxed{\overline{K^0} \rightarrow K^0}$

Für CP-Verletzung: Vergleich von Wahrscheinlichkeiten.  
Zeige:

$$P(K^0 \rightarrow \overline{K^0}) \neq P(\overline{K^0} \rightarrow K^0)$$

# Die Massen-Eigenzustände

- ▶  $K^0$  und  $\overline{K^0}$  können ineinander übergehen

# Die Massen-Eigenzustände

- ▶  $K^0$  und  $\overline{K^0}$  können ineinander übergehen
- ▶  $K^0$  und  $\overline{K^0}$  keine EZ von  $\mathcal{H}$

# Die Massen-Eigenzustände

- ▶  $K^0$  und  $\overline{K^0}$  können ineinander übergehen
- ▶  $K^0$  und  $\overline{K^0}$  keine EZ von  $\mathcal{H}$

$$i\frac{d}{dt}|\Psi(t)\rangle = \mathcal{H}|\Psi(t)\rangle = \left(m - \frac{i}{2}\Gamma\right)|\Psi(t)\rangle$$
$$i\frac{d}{dt}\begin{pmatrix} K^0 \\ \overline{K^0} \end{pmatrix} = \mathcal{H}\begin{pmatrix} K^0 \\ \overline{K^0} \end{pmatrix} = \left(m - \frac{i}{2}\Gamma\right)\begin{pmatrix} K^0 \\ \overline{K^0} \end{pmatrix}$$

# Die Massen-Eigenzustände

- ▶  $K^0$  und  $\overline{K^0}$  können ineinander übergehen
- ▶  $K^0$  und  $\overline{K^0}$  keine EZ von  $\mathcal{H}$

$$i \frac{d}{dt} |\Psi(t)\rangle = \mathcal{H} |\Psi(t)\rangle = (m - \frac{i}{2}\Gamma) |\Psi(t)\rangle$$
$$i \frac{d}{dt} \begin{pmatrix} K^0 \\ \overline{K^0} \end{pmatrix} = \mathcal{H} \begin{pmatrix} K^0 \\ \overline{K^0} \end{pmatrix} = (m - \frac{i}{2}\Gamma) \begin{pmatrix} K^0 \\ \overline{K^0} \end{pmatrix}$$

Diagonalisieren mit Massen-Eigenzuständen:

$$|K_L\rangle := p |K^0\rangle + q |\overline{K^0}\rangle \quad (\text{L: Langlebiges Kaon})$$

$$|K_S\rangle := p |K^0\rangle - q |\overline{K^0}\rangle \quad (\text{S: Kurzlebige Kaon})$$

$$|p|^2 + |q|^2 = 1$$

## Die Massen-Eigenzustände

- ▶  $K^0$  und  $\overline{K^0}$  können ineinander übergehen
- ▶  $K^0$  und  $\overline{K^0}$  keine EZ von  $\mathcal{H}$

$$i\frac{d}{dt}|\Psi(t)\rangle = \mathcal{H}|\Psi(t)\rangle = (m - \frac{i}{2}\Gamma)|\Psi(t)\rangle$$
$$i\frac{d}{dt}\begin{pmatrix} K^0 \\ \overline{K^0} \end{pmatrix} = \mathcal{H}\begin{pmatrix} K^0 \\ \overline{K^0} \end{pmatrix} = (m - \frac{i}{2}\Gamma)\begin{pmatrix} K^0 \\ \overline{K^0} \end{pmatrix}$$

Diagonalisieren mit Massen-Eigenzuständen:

$$|K_L\rangle := p|K^0\rangle + q|\overline{K^0}\rangle \quad (\text{L: Langlebiges Kaon})$$

$$|K_S\rangle := p|K^0\rangle - q|\overline{K^0}\rangle \quad (\text{S: Kurzlebige Kaon})$$

$$|p|^2 + |q|^2 = 1$$

→ klar def. Masse, klar def. Lebensdauer

$$P(K^0 \rightarrow \overline{K^0}) \neq P(\overline{K^0} \rightarrow K^0)$$

$$P(K^0 \rightarrow \overline{K^0}) \neq P(\overline{K^0} \rightarrow K^0)$$

$K^0$  und  $\overline{K^0}$  in der Zeitentwicklung:

$$\begin{aligned} |K^0(t)\rangle &= f_+(t) |K^0\rangle - \frac{q}{p} f_-(t) |\overline{K^0}\rangle \\ |\overline{K^0}(t)\rangle &= f_+(t) |\overline{K^0}\rangle + \frac{p}{q} f_-(t) |K^0\rangle \end{aligned}$$

mit  $q$  und  $p$  in  $|K_L\rangle := p |K^0\rangle + q |\overline{K^0}\rangle$ ,  $|K_S\rangle := p |K^0\rangle - q |\overline{K^0}\rangle$

$$P(K^0 \rightarrow \overline{K^0}) \neq P(\overline{K^0} \rightarrow K^0)$$

$K^0$  und  $\overline{K^0}$  in der Zeitentwicklung:

$$|K^0(t)\rangle = f_+(t) |K^0\rangle - \frac{q}{p} f_-(t) |\overline{K^0}\rangle$$

$$|\overline{K^0}(t)\rangle = f_+(t) |\overline{K^0}\rangle + \frac{p}{q} f_-(t) |K^0\rangle$$

mit  $q$  und  $p$  in  $|K_L\rangle := p |K^0\rangle + q |\overline{K^0}\rangle$ ,  $|K_S\rangle := p |K^0\rangle - q |\overline{K^0}\rangle$

$$P(K^0 \rightarrow \overline{K^0}) = \left| \frac{q}{p} \right|^2 |f_-(t)|^2$$

$$P(\overline{K^0} \rightarrow K^0) = \left| \frac{p}{q} \right|^2 |f_-(t)|^2$$

$$P(K^0 \rightarrow \overline{K^0}) \neq P(\overline{K^0} \rightarrow K^0)$$

$K^0$  und  $\overline{K^0}$  in der Zeitentwicklung:

$$|K^0(t)\rangle = f_+(t) |K^0\rangle - \frac{q}{p} f_-(t) |\overline{K^0}\rangle$$

$$|\overline{K^0}(t)\rangle = f_+(t) |\overline{K^0}\rangle + \frac{p}{q} f_-(t) |K^0\rangle$$

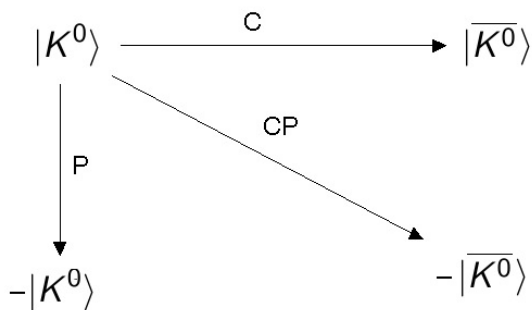
mit  $q$  und  $p$  in  $|K_L\rangle := p |K^0\rangle + q |\overline{K^0}\rangle$ ,  $|K_S\rangle := p |K^0\rangle - q |\overline{K^0}\rangle$

$$P(K^0 \rightarrow \overline{K^0}) = \left| \frac{q}{p} \right|^2 |f_-(t)|^2$$

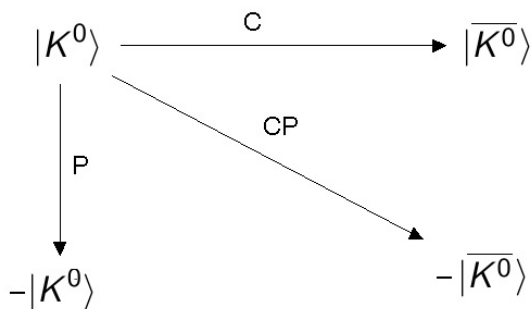
$$P(\overline{K^0} \rightarrow K^0) = \left| \frac{p}{q} \right|^2 |f_-(t)|^2$$

→ Ist  $|q|=|p|$  ?

## Das Kaon unter CP-Transformation



## Das Kaon unter CP-Transformation



→  $K^0$  und  $\overline{K^0}$  keine CP-EZ

# Konstruktion der CP Eigenzustände

Eigenzustände von CP:

$$|K_1^0\rangle := \frac{1}{\sqrt{2}}(|K^0\rangle - |\bar{K}^0\rangle)$$

$$|K_2^0\rangle := \frac{1}{\sqrt{2}}(|K^0\rangle + |\bar{K}^0\rangle)$$

# Konstruktion der CP Eigenzustände

Eigenzustände von CP:

$$|K_1^0\rangle := \frac{1}{\sqrt{2}}(|K^0\rangle - |\bar{K}^0\rangle)$$

$$|K_2^0\rangle := \frac{1}{\sqrt{2}}(|K^0\rangle + |\bar{K}^0\rangle)$$

$$\Rightarrow CP |K_1^0\rangle = |K_1^0\rangle \text{ und } CP |K_2^0\rangle = -|K_2^0\rangle$$

## Für CP-Verletzung

$$|K_1^0\rangle := \frac{1}{\sqrt{2}}(|K^0\rangle - |\bar{K}^0\rangle)$$

$$|K_2^0\rangle := \frac{1}{\sqrt{2}}(|K^0\rangle + |\bar{K}^0\rangle)$$

(CP-Eigenzustände)

$$|K_L\rangle := p|K^0\rangle + q|\bar{K}^0\rangle$$

$$|K_S\rangle := p|K^0\rangle - q|\bar{K}^0\rangle$$

(Klare Masse/Lebensdauer)

## Für CP-Verletzung

$$|K_1^0\rangle := \frac{1}{\sqrt{2}}(|K^0\rangle - |\bar{K}^0\rangle)$$

$$|K_2^0\rangle := \frac{1}{\sqrt{2}}(|K^0\rangle + |\bar{K}^0\rangle)$$

(CP-Eigenzustände)

$$|K_L\rangle := p|K^0\rangle + q|\bar{K}^0\rangle$$

$$|K_S\rangle := p|K^0\rangle - q|\bar{K}^0\rangle$$

(Klare Masse/Lebensdauer)

CP Erhaltung  $\Rightarrow |p| = |q| \Leftrightarrow$  Massen-EZ sind CP-EZ

## Angenommen CP-Erhaltung gilt

- ▶ Massen-EZ sind CP-EZ.

## Angenommen CP-Erhaltung gilt

- ▶ Massen-EZ sind CP-EZ.
- ▶ CP-EW ist erhalten bei Zerfall.

## Angenommen CP-Erhaltung gilt

- ▶ Massen-EZ sind CP-EZ.
- ▶ CP-EW ist erhalten bei Zerfall.
- ▶ Insbes. bei Zerfall in  $\pi^+ + \pi^-$  und in  $\pi^+ + \pi^- + \pi^0$

## Angenommen CP-Erhaltung gilt

- ▶ Massen-EZ sind CP-EZ.
- ▶ CP-EW ist erhalten bei Zerfall.
- ▶ Insbes. bei Zerfall in  $\pi^+ + \pi^-$  und in  $\pi^+ + \pi^- + \pi^0$

CP-EW von  $2\pi$ :

$$P = P_a P_b (-1)^l$$

$$P(|\pi^+ + \pi^-\rangle) = (-1)(-1)(-1)^0 = 1$$

$$C(|\pi^+\rangle) = |\pi^-\rangle$$

$$C(|\pi^-\rangle) = |\pi^+\rangle$$

$$CP(|\pi^+ + \pi^-\rangle) = |\pi^+ + \pi^-\rangle$$

## Angenommen CP-Erhaltung gilt

- ▶ Massen-EZ sind CP-EZ.
- ▶ CP-EW ist erhalten bei Zerfall.
- ▶ Insbes. bei Zerfall in  $\pi^+ + \pi^-$  und in  $\pi^+ + \pi^- + \pi^0$

CP-EW von  $2\pi$ :

$$P = P_a P_b (-1)^l$$

$$P(|\pi^+ + \pi^-\rangle) = (-1)(-1)(-1)^0 = 1$$

$$C(|\pi^+\rangle) = |\pi^-\rangle$$

$$C(|\pi^-\rangle) = |\pi^+\rangle$$

$$CP(|\pi^+ + \pi^-\rangle) = |\pi^+ + \pi^-\rangle$$

→ CP-EW von  $|2\pi\rangle$ : +1

## Angenommen CP-Erhaltung gilt

- ▶ Massen-EZ sind CP-EZ.
- ▶ CP-EW ist erhalten bei Zerfall.
- ▶ Insbes. bei Zerfall in  $\pi^+ + \pi^-$  und in  $\pi^+ + \pi^- + \pi^0$

CP-EW von  $2\pi$ :

$$P = P_a P_b (-1)^l$$

$$P(|\pi^+ + \pi^-\rangle) = (-1)(-1)(-1)^0 = 1$$

$$C(|\pi^+\rangle) = |\pi^-\rangle$$

$$C(|\pi^-\rangle) = |\pi^+\rangle$$

$$CP(|\pi^+ + \pi^-\rangle) = |\pi^+ + \pi^-\rangle$$

→ CP-EW von  $|2\pi\rangle$ : +1

→ CP-EW von  $|3\pi\rangle$ : -1, ( $C(|\pi^0\rangle) = |\pi^0\rangle$ )

## Zerfall der CP-EZ

- ▶ CP-EW von  $|2\pi\rangle$ : +1  
CP-EW von  $|3\pi\rangle$ : -1

## Zerfall der CP-EZ

- ▶ CP-EW von  $|2\pi\rangle$ : +1  
CP-EW von  $|3\pi\rangle$ : -1
- ▶ CP-EW von  $|K_1^0\rangle$ : +1  
CP-EW von  $|K_2^0\rangle$ : -1

# Zerfall der CP-EZ

- ▶ CP-EW von  $|2\pi\rangle$ : +1  
CP-EW von  $|3\pi\rangle$ : -1
- ▶ CP-EW von  $|K_1^0\rangle$ : +1  
CP-EW von  $|K_2^0\rangle$ : -1
- ▶  $|K_1^0\rangle \rightarrow |2\pi\rangle$ ,  $|K_1^0\rangle \nrightarrow |3\pi\rangle$   
 $|K_2^0\rangle \rightarrow |3\pi\rangle$ ,  $|K_2^0\rangle \nrightarrow |2\pi\rangle$

# Zerfall der CP-EZ

- ▶ CP-EW von  $|2\pi\rangle$ : +1  
CP-EW von  $|3\pi\rangle$ : -1
- ▶ CP-EW von  $|K_1^0\rangle$ : +1  
CP-EW von  $|K_2^0\rangle$ : -1
- ▶  $|K_1^0\rangle \rightarrow |2\pi\rangle$ ,  $|K_1^0\rangle \nrightarrow |3\pi\rangle$   
 $|K_2^0\rangle \rightarrow |3\pi\rangle$ ,  $|K_2^0\rangle \nrightarrow |2\pi\rangle$
- ▶ Freiwerdende Energie beim  $2\pi$  Zerfall größer

# Zerfall der CP-EZ

- ▶ CP-EW von  $|2\pi\rangle$ : +1  
CP-EW von  $|3\pi\rangle$ : -1
- ▶ CP-EW von  $|K_1^0\rangle$ : +1  
CP-EW von  $|K_2^0\rangle$ : -1
- ▶  $|K_1^0\rangle \rightarrow |2\pi\rangle$ ,  $|K_1^0\rangle \nrightarrow |3\pi\rangle$   
 $|K_2^0\rangle \rightarrow |3\pi\rangle$ ,  $|K_2^0\rangle \nrightarrow |2\pi\rangle$
- ▶ Freiwerdende Energie beim  $2\pi$  Zerfall größer
- ▶  $K_1^0$  zerfällt schneller als  $K_2^0$

# Zerfall der CP-EZ

- ▶ CP-EW von  $|2\pi\rangle$ : +1  
CP-EW von  $|3\pi\rangle$ : -1
- ▶ CP-EW von  $|K_1^0\rangle$ : +1  
CP-EW von  $|K_2^0\rangle$ : -1
- ▶  $|K_1^0\rangle \rightarrow |2\pi\rangle$ ,  $|K_1^0\rangle \nrightarrow |3\pi\rangle$   
 $|K_2^0\rangle \rightarrow |3\pi\rangle$ ,  $|K_2^0\rangle \nrightarrow |2\pi\rangle$
- ▶ Freiwerdende Energie beim  $2\pi$  Zerfall größer
- ▶  $K_1^0$  zerfällt schneller als  $K_2^0$
- ▶ Also  $K_1^0 = K_S^0$  und  $K_2^0 = K_L^0$  (wenn CP erhalten ist!)

## Folgerung

$$|K_L^0\rangle \rightarrow |3\pi\rangle, |K_L^0\rangle \rightarrow |2\pi\rangle$$

# Das Experiment von Cronin und Fitch

- ▶ 1964 am Brookhaven AGS, New York
- ▶ Proton-Beschleunigerring mit 33 GeV Energie
- ▶ Intention:  
Tiefe Schranke für  $K_L^0 \rightarrow 2\pi$  Zerfall (bisher:  $<1/300$ )

# Problemstellung

1. Erzeugung eines reinen  $K_L^0$ -Strahls
2. Unterscheidung der  $2\pi$  Zerfälle von  $3\pi$  Zerfällen

## Problem 1: Reiner $K_L^0$ -Strahl

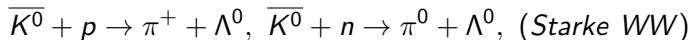
- ▶ Lebensdauern:  $10^{-10}\text{s}$  vs  $10^{-8}\text{s}$

## Problem 1: Reiner $K_L^0$ -Strahl

- ▶ Lebensdauern:  $10^{-10}\text{s}$  vs  $10^{-8}\text{s}$
- ▶ Lange Wegstrecken, damit kurzlebiger  $K_S^0$  Anteil zefällt (ca. 17m)

## Problem 1: Reiner $K_L^0$ -Strahl

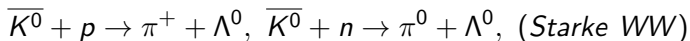
- ▶ Lebensdauern:  $10^{-10}\text{s}$  vs  $10^{-8}\text{s}$
- ▶ Lange Wegstrecken, damit kurzlebiger  $K_S^0$  Anteil zerfällt (ca. 17m)
- ▶ Phänomen des "Regenerators":



Für  $K^0$  wegen Erhaltung von Strangeness nicht möglich!

## Problem 1: Reiner $K_L^0$ -Strahl

- ▶ Lebensdauern:  $10^{-10}\text{s}$  vs  $10^{-8}\text{s}$
- ▶ Lange Wegstrecken, damit kurzlebiger  $K_S^0$  Anteil zerfällt (ca. 17m)
- ▶ Phänomen des "Regenerators":



Für  $K^0$  wegen Erhaltung von Strangeness nicht möglich!

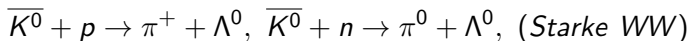
- ▶ WW mit Materie:

$$|\text{vorher}\rangle = |K_2^0\rangle = \frac{1}{\sqrt{2}}(|K^0\rangle + |\overline{K^0}\rangle)$$

$$|\text{nachher}\rangle = \frac{1}{\sqrt{2}}(f|K^0\rangle + \bar{f}|\overline{K^0}\rangle) = \frac{1}{2}(f - \bar{f})|K_1^0\rangle + \frac{1}{2}(f + \bar{f})|\overline{K_2^0}\rangle$$

## Problem 1: Reiner $K_L^0$ -Strahl

- ▶ Lebensdauern:  $10^{-10}\text{s}$  vs  $10^{-8}\text{s}$
- ▶ Lange Wegstrecken, damit kurzlebiger  $K_S^0$  Anteil zerfällt (ca. 17m)
- ▶ Phänomen des "Regenerators":



Für  $K^0$  wegen Erhaltung von Strangeness nicht möglich!

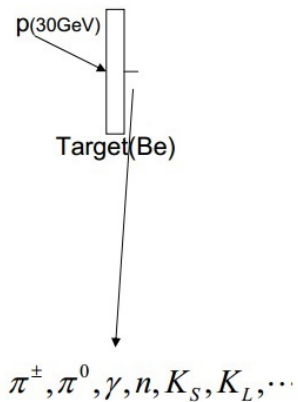
- ▶ WW mit Materie:

$$|\text{vorher}\rangle = |K_2^0\rangle = \frac{1}{\sqrt{2}}(|K^0\rangle + |\overline{K^0}\rangle)$$

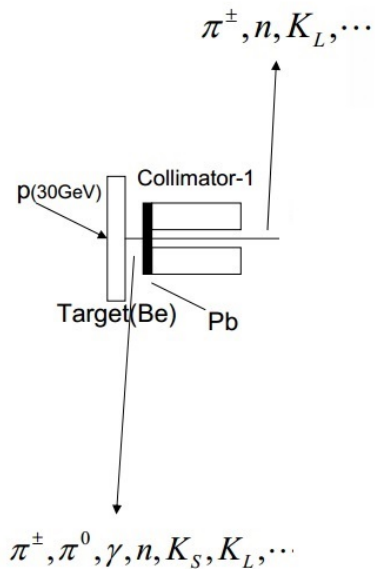
$$|\text{nachher}\rangle = \frac{1}{\sqrt{2}}(f|K^0\rangle + \bar{f}|\overline{K^0}\rangle) = \frac{1}{2}(f - \bar{f})|K_1^0\rangle + \frac{1}{2}(f + \bar{f})|\overline{K_2^0}\rangle$$

→ WW mit Materie vermeiden!

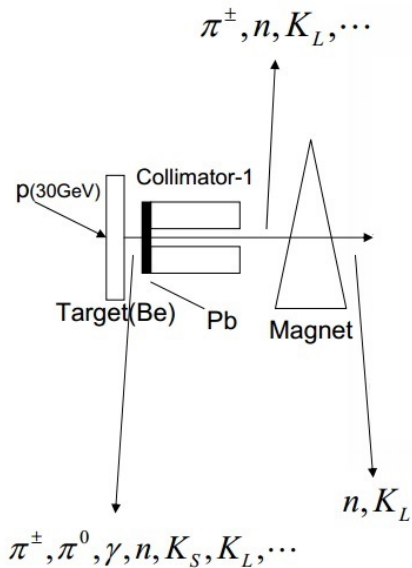
# Umsetzung: Reiner $K_L^0$ -Strahl



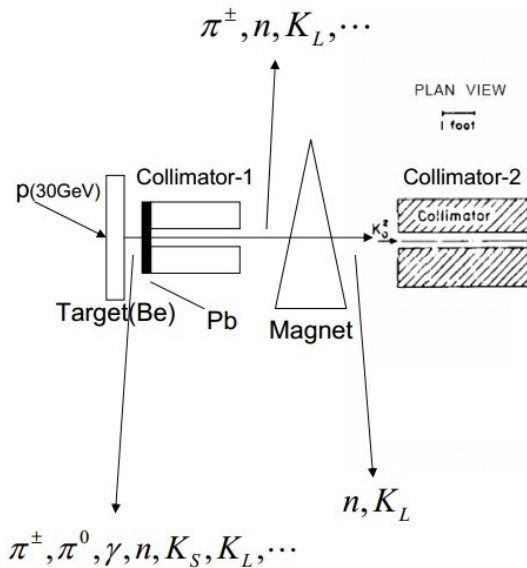
# Umsetzung: Reiner $K_L^0$ -Strahl



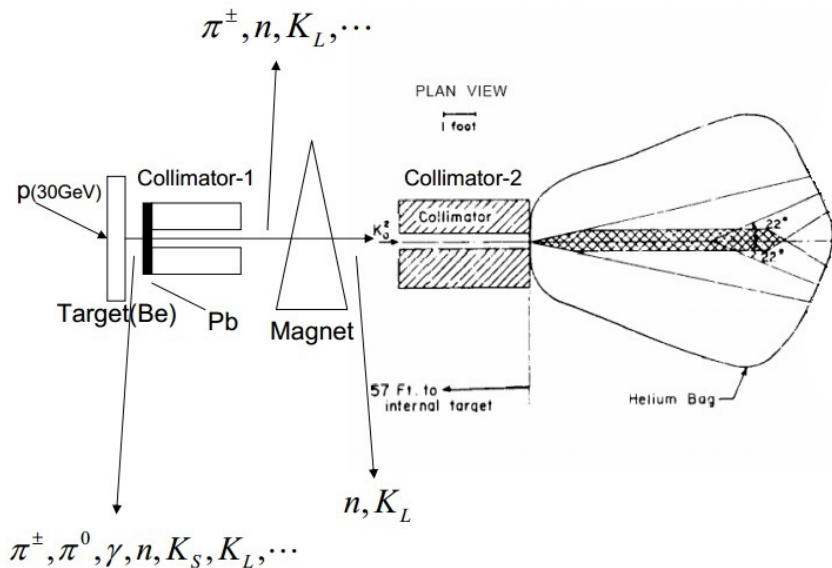
# Umsetzung: Reiner $K_L^0$ -Strahl



# Umsetzung: Reiner $K_L^0$ -Strahl



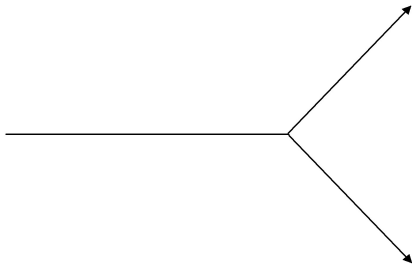
# Umsetzung: Reiner $K_L^0$ -Strahl



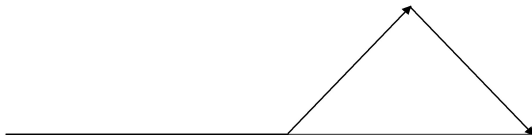
## Problem 2: $2\pi$ Zerfall $\leftrightarrow$ $3\pi$ Zerfall

- ▶ Nachweis zweier koinzidenter Teilchen
- ▶ Berechnung invarianter Masse
- ▶ Messung Winkel zum  $K_L^0$ -Strahl

Winkel zum  $K_L^0$ -Strahl

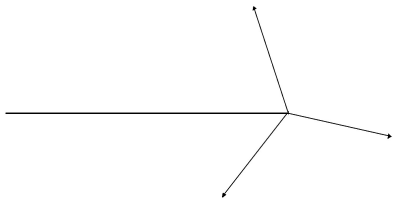


# Winkel zum $K_L^0$ -Strahl

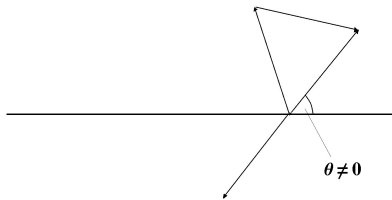


$$\theta = 0$$

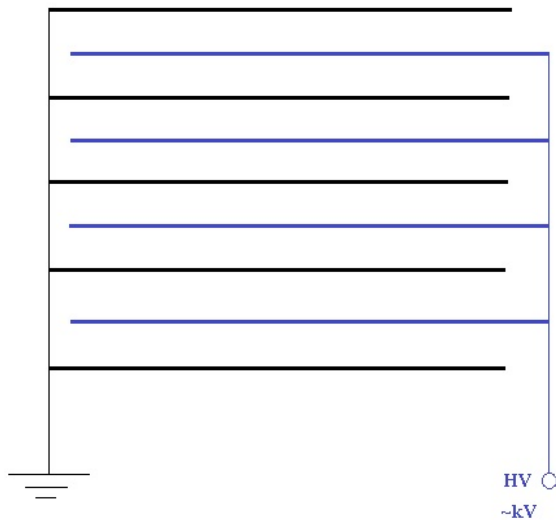
## Winkel zum $K_L^0$ -Strahl



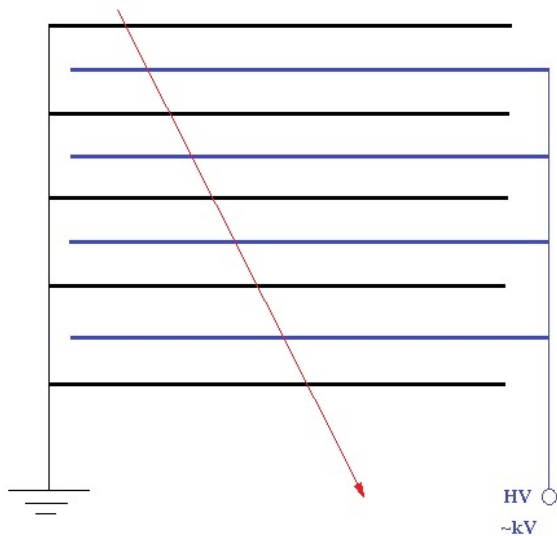
# Winkel zum $K_L^0$ -Strahl



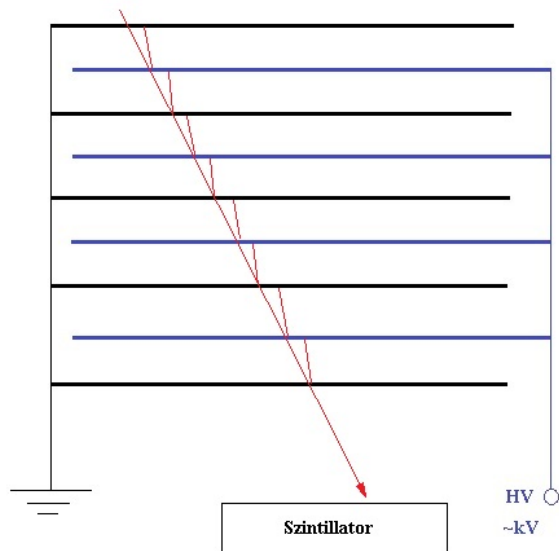
# Messinstrument: Funkenkammer



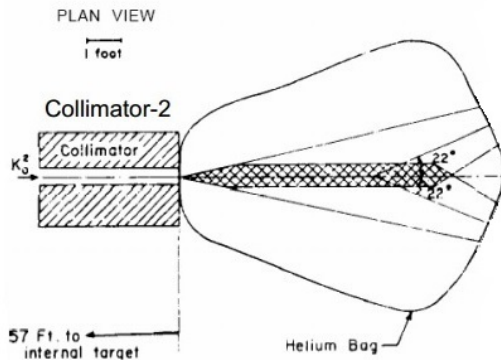
## Messinstrument: Funkenkammer



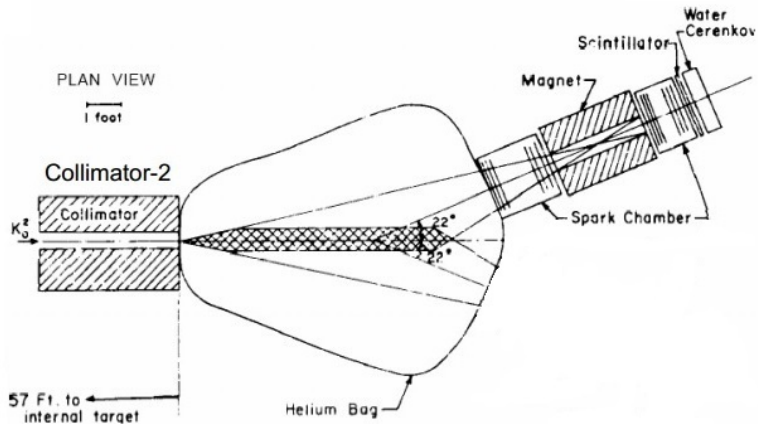
# Messinstrument: Funkenkammer



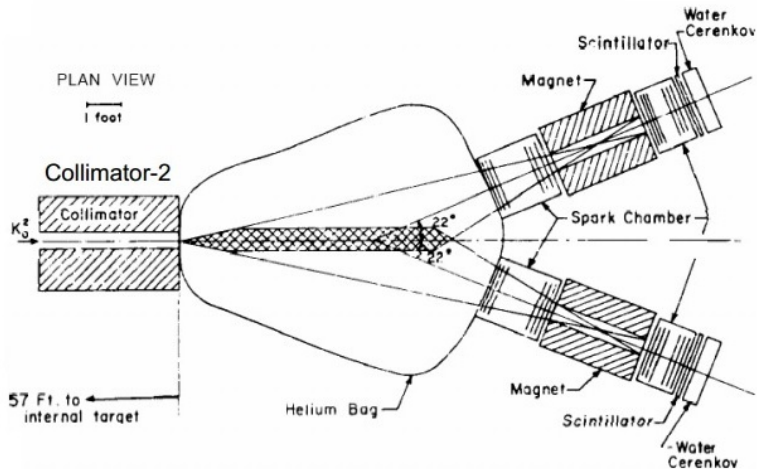
# Umsetzung: $2\pi$ Zerfall $\leftrightarrow$ $3\pi$ Zerfall



# Umsetzung: $2\pi$ Zerfall $\leftrightarrow$ $3\pi$ Zerfall



# Umsetzung: $2\pi$ Zerfall $\leftrightarrow$ $3\pi$ Zerfall

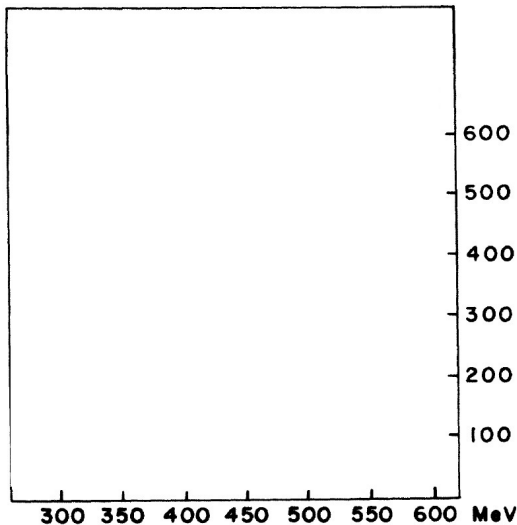


# Messung

## Energieverteilung

Messung mit  
Wolfram-Regenerator:  
Peak bei  $498,1 \pm 0,4$  MeV

Allen gemessenen Teilchen wird  
Masse des Pions zugeordnet

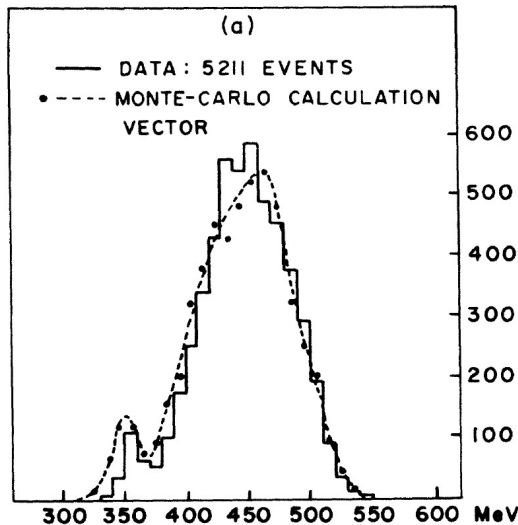


# Messung

## Energieverteilung

Messung mit  
Wolfram-Regenerator:  
Peak bei  $498,1 \pm 0,4$  MeV

Allen gemessenen Teilchen wird  
Masse des Pions zugeordnet

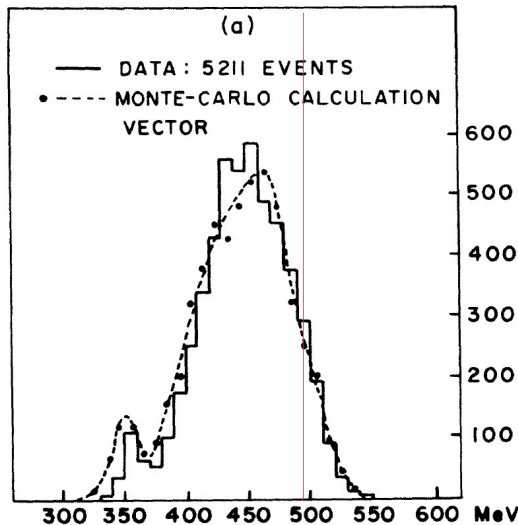


# Messung

## Energieverteilung

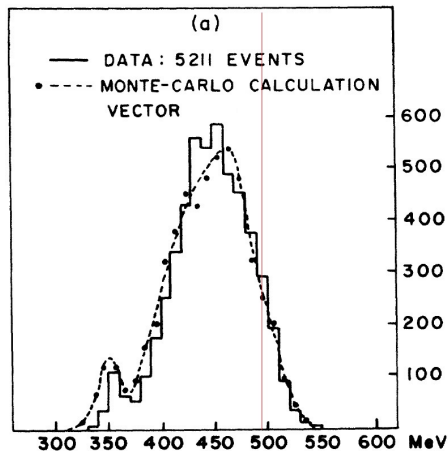
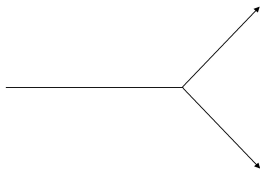
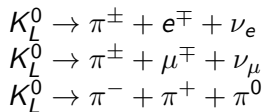
Messung mit  
Wolfram-Regenerator:  
Peak bei  $498,1 \pm 0,4$  MeV

Allen gemessenen Teilchen wird  
Masse des Pions zugeordnet



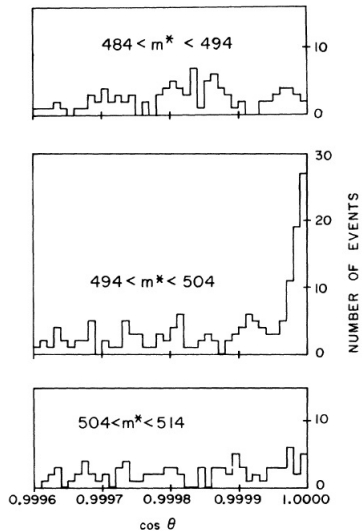
# Messung

## Untergrund



# Messung

## Winkelverteilung

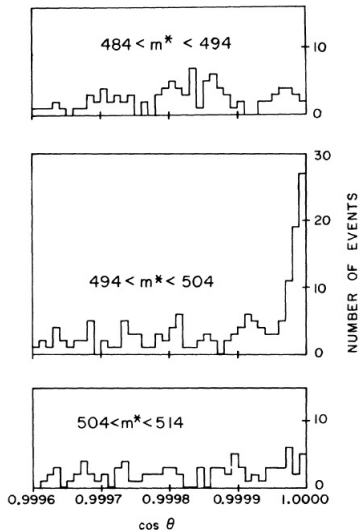


Angular distribution in three mass ranges for events with  $\cos \theta > 0.9995$ .

# Messung

## Winkelverteilung

- ▶  $45 \pm 10$  Ereignisse

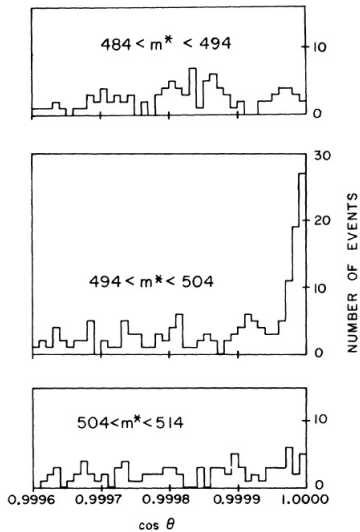


Angular distribution in three mass ranges for events with  $\cos \theta > 0.9995$ .

# Messung

## Winkelverteilung

- ▶  $45 \pm 10$  Ereignisse
- ▶ Durch Regeneration im Helium verursacht:  
~10 Ereignisse

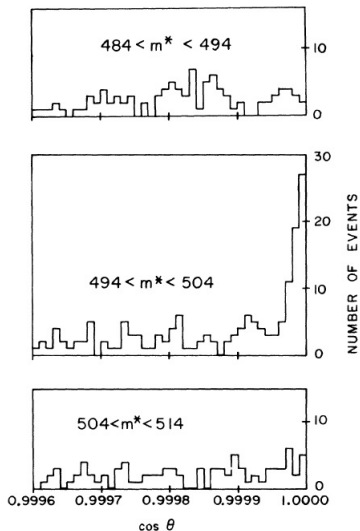


Angular distribution in three mass ranges for events with  $\cos \theta > 0.9995$ .

# Messung

## Winkelverteilung

- ▶  $45 \pm 10$  Ereignisse
- ▶ Durch Regeneration im Helium verursacht:  
~10 Ereignisse
- ▶ Mittelwert Masse mit  $\cos\theta > 0,99999$  :  
 $499,1 \pm 0,8\text{MeV}$

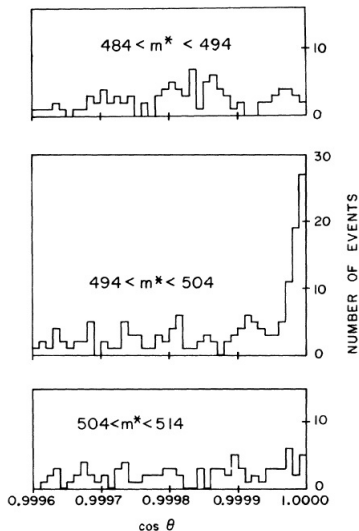


Angular distribution in three mass ranges for events with  $\cos\theta > 0.9995$ .

# Messung

## Winkelverteilung

- ▶  $45 \pm 10$  Ereignisse
- ▶ Durch Regeneration im Helium verursacht:  
~10 Ereignisse
- ▶ Mittelwert Masse mit  $\cos\theta > 0,99999$  :  
 $499,1 \pm 0,8 \text{ MeV}$
- ▶ Vgl.  $498,1 \pm 0,4$   
 $\rightarrow \Delta m = 1,0 \pm 0,9 \text{ MeV}$



Angular distribution in three mass ranges for events with  $\cos\theta > 0.9995$ .

# Zusammenfassung

- ▶ Zerfall des langlebigen Kaons in  $\pi^+ + \pi^-$

# Zusammenfassung

- ▶ Zerfall des langlebigen Kaons in  $\pi^+ + \pi^-$
- ▶ Zerfallswahrscheinlichkeit:

$$R = \frac{K_L^0 \rightarrow \pi^+ + \pi^-}{K_L^0 \rightarrow \text{all charged modes}} = (2,0 \pm 0,4) \times 10^{-3}$$

# Zusammenfassung

- ▶ Zerfall des langlebigen Kaons in  $\pi^+ + \pi^-$
- ▶ Zerfallswahrscheinlichkeit:

$$R = \frac{K_L^0 \rightarrow \pi^+ + \pi^-}{K_L^0 \rightarrow \text{all charged modes}} = (2,0 \pm 0,4) \times 10^{-3}$$

- ▶ Regeneration im Helium konnte ausgeschlossen werden

# Zusammenfassung

- ▶ Zerfall des langlebigen Kaons in  $\pi^+ + \pi^-$
- ▶ Zerfallswahrscheinlichkeit:

$$R = \frac{K_L^0 \rightarrow \pi^+ + \pi^-}{K_L^0 \rightarrow \text{all charged modes}} = (2,0 \pm 0,4) \times 10^{-3}$$

- ▶ Regeneration im Helium konnte ausgeschlossen werden

# Interpretation

$$K_L^0 \rightarrow 2\pi$$

# Interpretation

$$\begin{aligned} K_L^0 &\rightarrow 2\pi \\ \Rightarrow K_L^0 &\neq K_2^0 \end{aligned}$$

# Interpretation

$$\begin{aligned} & K_L^0 \rightarrow 2\pi \\ \Rightarrow & K_L^0 \neq K_2^0 \end{aligned}$$

(oder:  $K_2^0 \rightarrow 2\pi$  (CP-EW -1  $\rightarrow$  CP-EW +1))

# Interpretation

$$\begin{aligned} & K_L^0 \rightarrow 2\pi \\ \Rightarrow & K_L^0 \neq K_2^0 \\ \Rightarrow & |q| \neq |p| \end{aligned}$$

(oder:  $K_2^0 \rightarrow 2\pi$  (CP-EW -1  $\rightarrow$  CP-EW +1))

# Interpretation

$$\begin{aligned} & K_L^0 \rightarrow 2\pi \\ \Rightarrow & K_L^0 \neq K_2^0 && (\text{oder: } K_2^0 \rightarrow 2\pi \text{ (CP-EW } -1 \rightarrow \text{CP-EW } +1)) \\ \Rightarrow & |q| \neq |p| \\ \Rightarrow & P(K^0 \rightarrow \overline{K^0}) \neq P(\overline{K^0} \rightarrow K^0) \end{aligned}$$

# Interpretation

$$\begin{aligned} & K_L^0 \rightarrow 2\pi \\ \Rightarrow & K_L^0 \neq K_2^0 && (\text{oder: } K_2^0 \rightarrow 2\pi \text{ (CP-EW } -1 \rightarrow \text{CP-EW } +1)) \\ \Rightarrow & |q| \neq |p| \\ \Rightarrow & P(K^0 \rightarrow \overline{K^0}) \neq P(\overline{K^0} \rightarrow K^0) \end{aligned}$$

$\Rightarrow$  **CP-Verletzung!**

## Kein EZ von CP

▶  $K_L^0 \neq K_2^0, K_S^0 \neq K_1^0$

## Kein EZ von CP

- ▶  $K_L^0 \neq K_2^0, K_S^0 \neq K_1^0$
- ▶ Folgerung:

$$|K_L^0\rangle := \frac{1}{\sqrt{1 + |\epsilon|^2}} (|K_2^0\rangle + \epsilon |K_1^0\rangle)$$

$$|K_S^0\rangle := \frac{1}{\sqrt{1 + |\epsilon|^2}} (|K_1^0\rangle + \epsilon |K_2^0\rangle)$$

## Kein EZ von CP

- ▶  $K_L^0 \neq K_2^0, K_S^0 \neq K_1^0$
- ▶ Folgerung:

$$|K_L^0\rangle := \frac{1}{\sqrt{1 + |\epsilon|^2}} (|K_2^0\rangle + \epsilon |K_1^0\rangle)$$

$$|K_S^0\rangle := \frac{1}{\sqrt{1 + |\epsilon|^2}} (|K_1^0\rangle + \epsilon |K_2^0\rangle)$$

- ▶ Aus Experiment:  $|\epsilon| = 2,3 \times 10^{-3}$

# Auswirkungen

- ▶ Aus QFT: CPT-Erhaltung  
(1952-1954, Schwinger und Lüders)

# Auswirkungen

- ▶ Aus QFT: CPT-Erhaltung  
(1952-1954, Schwinger und Lüders)
- ▶ Also CPT-Theorem falsch oder T  
nicht erhalten

# Auswirkungen

- ▶ Aus QFT: CPT-Erhaltung  
(1952-1954, Schwinger und Lüders)
- ▶ Also CPT-Theorem falsch oder T  
nicht erhalten
- ▶ Invarianz der Zeitumkehr verletzt  
im Kaonsystem

# Auswirkungen

- ▶ Aus QFT: CPT-Erhaltung (1952-1954, Schwinger und Lüders)
- ▶ Also CPT-Theorem falsch oder T nicht erhalten
- ▶ Invarianz der Zeitumkehr verletzt im Kaonsystem
- ▶ CP-Verletzung notwendig für Materie-Antimaterie-Ungleichgewicht.

# Auswirkungen

- ▶ Aus QFT: CPT-Erhaltung (1952-1954, Schwinger und Lüders)
- ▶ Also CPT-Theorem falsch oder T nicht erhalten
- ▶ Invarianz der Zeitumkehr verletzt im Kaonsystem
- ▶ CP-Verletzung notwendig für Materie-Antimaterie-Ungleichgewicht.
- ▶ Nobelpreis für Cronin und Fitch 1980



# Quellen



Griffiths, David  
*Introduction to Elementary Particles.*  
Klein-Verlag, 1990.



Frauenfelder, Hans  
*Nuclear and Particle Physics.*  
Addison-Wesley Pub Co, 1975.



Christenson, J. and Cronin, J. and Fitch, V. und Turlay, R.  
*Evidence for the  $2\pi$  Decay of the  $K_2^0$  Meson*  
Phys. Rev. Lett., 1964



Hansmann-Menzemer, Stephanie  
*Particle Physics WS 2012/13*  
Universität Heidelberg, 2013



Jun Nian  
*Messung der direkten CP Verletzung im Kaonzerfall.*  
<http://www.physi.uni-heidelberg.de/uwer/lectures/Seminar/KeyExp/2007/DirekteCPV.pdf>, 23.10.2014